

# Starkniederschlagshöhen und -spenden gemäß KOSTRA-DWD-2020

## Rasterfeld 161135

(Zeile 161, Spalte 135)

### Regenspende und Bemessungsniederschlagswerte in Abhängigkeit von Wiederkehrzeit T und Dauerstufe D

| Dauerstufe D |     | Wiederkehrzeit T |            |       |            |       |            |       |            |       |            |       |            |       |            |       |            |       |            |
|--------------|-----|------------------|------------|-------|------------|-------|------------|-------|------------|-------|------------|-------|------------|-------|------------|-------|------------|-------|------------|
|              |     | 1 a              |            | 2 a   |            | 3 a   |            | 5 a   |            | 10 a  |            | 20 a  |            | 30 a  |            | 50 a  |            | 100 a |            |
| min          | Std | mm               | l / (s ha) | mm    | l / (s ha) | mm    | l / (s ha) | mm    | l / (s ha) | mm    | l / (s ha) | mm    | l / (s ha) | mm    | l / (s ha) | mm    | l / (s ha) | mm    | l / (s ha) |
| 5            |     | 6,3              | 210,0      | 7,7   | 256,7      | 8,6   | 286,7      | 9,8   | 326,7      | 11,5  | 383,3      | 13,2  | 440,0      | 14,4  | 480,0      | 15,8  | 526,7      | 18,0  | 600,0      |
| 10           |     | 8,3              | 138,3      | 10,2  | 170,0      | 11,3  | 188,3      | 12,9  | 215,0      | 15,1  | 251,7      | 17,4  | 290,0      | 18,9  | 315,0      | 20,8  | 346,7      | 23,6  | 393,3      |
| 15           |     | 9,6              | 106,7      | 11,8  | 131,1      | 13,1  | 145,6      | 14,9  | 165,6      | 17,5  | 194,4      | 20,1  | 223,3      | 21,9  | 243,3      | 24,1  | 267,8      | 27,4  | 304,4      |
| 20           |     | 10,6             | 88,3       | 13,0  | 108,3      | 14,5  | 120,8      | 16,5  | 137,5      | 19,4  | 161,7      | 22,3  | 185,8      | 24,2  | 201,7      | 26,7  | 222,5      | 30,3  | 252,5      |
| 30           |     | 12,2             | 67,8       | 15,0  | 83,3       | 16,7  | 92,8       | 19,0  | 105,6      | 22,3  | 123,9      | 25,7  | 142,8      | 27,9  | 155,0      | 30,8  | 171,1      | 34,9  | 193,9      |
| 45           |     | 14,0             | 51,9       | 17,2  | 63,7       | 19,2  | 71,1       | 21,8  | 80,7       | 25,6  | 94,8       | 29,4  | 108,9      | 32,0  | 118,5      | 35,3  | 130,7      | 40,1  | 148,5      |
| 60           | 1   | 15,4             | 42,8       | 19,0  | 52,8       | 21,2  | 58,9       | 24,0  | 66,7       | 28,2  | 78,3       | 32,4  | 90,0       | 35,2  | 97,8       | 38,9  | 108,1      | 44,1  | 122,5      |
| 90           | 1,5 | 17,7             | 32,8       | 21,7  | 40,2       | 24,2  | 44,8       | 27,5  | 50,9       | 32,2  | 59,6       | 37,1  | 68,7       | 40,3  | 74,6       | 44,5  | 82,4       | 50,5  | 93,5       |
| 120          | 2   | 19,4             | 26,9       | 23,9  | 33,2       | 26,6  | 36,9       | 30,2  | 41,9       | 35,4  | 49,2       | 40,8  | 56,7       | 44,3  | 61,5       | 48,9  | 67,9       | 55,5  | 77,1       |
| 180          | 3   | 22,2             | 20,6       | 27,3  | 25,3       | 30,4  | 28,1       | 34,5  | 31,9       | 40,5  | 37,5       | 46,6  | 43,1       | 50,6  | 46,9       | 55,9  | 51,8       | 63,5  | 58,8       |
| 240          | 4   | 24,4             | 16,9       | 30,0  | 20,8       | 33,4  | 23,2       | 38,0  | 26,4       | 44,5  | 30,9       | 51,2  | 35,6       | 55,7  | 38,7       | 61,4  | 42,6       | 69,7  | 48,4       |
| 360          | 6   | 27,9             | 12,9       | 34,2  | 15,8       | 38,2  | 17,7       | 43,3  | 20,0       | 50,8  | 23,5       | 58,5  | 27,1       | 63,5  | 29,4       | 70,1  | 32,5       | 79,6  | 36,9       |
| 540          | 9   | 31,8             | 9,8        | 39,1  | 12,1       | 43,6  | 13,5       | 49,5  | 15,3       | 58,0  | 17,9       | 66,8  | 20,6       | 72,5  | 22,4       | 80,1  | 24,7       | 90,9  | 28,1       |
| 720          | 12  | 34,9             | 8,1        | 42,9  | 9,9        | 47,9  | 11,1       | 54,3  | 12,6       | 63,7  | 14,7       | 73,4  | 17,0       | 79,7  | 18,4       | 88,0  | 20,4       | 99,8  | 23,1       |
| 1080         | 18  | 39,9             | 6,2        | 49,0  | 7,6        | 54,6  | 8,4        | 62,0  | 9,6        | 72,7  | 11,2       | 83,7  | 12,9       | 90,9  | 14,0       | 100,4 | 15,5       | 113,9 | 17,6       |
| 1440         | 24  | 43,8             | 5,1        | 53,8  | 6,2        | 60,0  | 6,9        | 68,1  | 7,9        | 79,8  | 9,2        | 91,9  | 10,6       | 99,9  | 11,6       | 110,2 | 12,8       | 125,1 | 14,5       |
| 2880         | 48  | 54,8             | 3,2        | 67,4  | 3,9        | 75,2  | 4,4        | 85,4  | 4,9        | 100,1 | 5,8        | 115,2 | 6,7        | 125,1 | 7,2        | 138,1 | 8,0        | 156,8 | 9,1        |
| 4320         | 72  | 62,6             | 2,4        | 76,9  | 3,0        | 85,8  | 3,3        | 97,4  | 3,8        | 114,2 | 4,4        | 131,5 | 5,1        | 142,8 | 5,5        | 157,6 | 6,1        | 178,9 | 6,9        |
| 5760         | 96  | 68,7             | 2,0        | 84,4  | 2,4        | 94,2  | 2,7        | 107,0 | 3,1        | 125,4 | 3,6        | 144,4 | 4,2        | 156,8 | 4,5        | 173,1 | 5,0        | 196,4 | 5,7        |
| 7200         | 120 | 73,9             | 1,7        | 90,8  | 2,1        | 101,3 | 2,3        | 115,0 | 2,7        | 134,8 | 3,1        | 155,2 | 3,6        | 168,6 | 3,9        | 186,1 | 4,3        | 211,2 | 4,9        |
| 8640         | 144 | 78,4             | 1,5        | 96,3  | 1,9        | 107,4 | 2,1        | 122,0 | 2,4        | 143,0 | 2,8        | 164,7 | 3,2        | 178,9 | 3,5        | 197,5 | 3,8        | 224,1 | 4,3        |
| 10080        | 168 | 82,4             | 1,4        | 101,3 | 1,7        | 113,0 | 1,9        | 128,3 | 2,1        | 150,4 | 2,5        | 173,2 | 2,9        | 188,1 | 3,1        | 207,7 | 3,4        | 235,7 | 3,9        |

# Starkniederschlagshöhen und -spenden gemäß KOSTRA-DWD-2020

## Rasterfeld 161135

(Zeile 161, Spalte 135)

### Örtliche Unsicherheiten in Abhängigkeit von Wiederkehrzeit T und Dauerstufe D

| Dauerstufe D |     | Wiederkehrzeit T |     |     |     |      |      |      |      |       |
|--------------|-----|------------------|-----|-----|-----|------|------|------|------|-------|
|              |     | 1 a              | 2 a | 3 a | 5 a | 10 a | 20 a | 30 a | 50 a | 100 a |
| min          | Std | ± %              | ± % | ± % | ± % | ± %  | ± %  | ± %  | ± %  | ± %   |
| 5            |     | 15               | 16  | 17  | 17  | 18   | 19   | 19   | 20   | 20    |
| 10           |     | 18               | 19  | 20  | 21  | 22   | 23   | 23   | 24   | 24    |
| 15           |     | 19               | 21  | 22  | 23  | 24   | 24   | 25   | 25   | 26    |
| 20           |     | 19               | 21  | 22  | 23  | 24   | 25   | 26   | 26   | 27    |
| 30           |     | 20               | 22  | 23  | 24  | 25   | 26   | 26   | 27   | 27    |
| 45           |     | 19               | 21  | 22  | 23  | 25   | 26   | 26   | 26   | 27    |
| 60           | 1   | 19               | 21  | 22  | 23  | 24   | 25   | 25   | 26   | 27    |
| 90           | 1,5 | 18               | 20  | 21  | 22  | 23   | 24   | 24   | 25   | 25    |
| 120          | 2   | 17               | 19  | 20  | 21  | 22   | 23   | 23   | 24   | 24    |
| 180          | 3   | 16               | 17  | 18  | 19  | 20   | 21   | 22   | 22   | 23    |
| 240          | 4   | 15               | 17  | 17  | 18  | 19   | 20   | 21   | 21   | 22    |
| 360          | 6   | 14               | 15  | 16  | 17  | 18   | 19   | 19   | 20   | 21    |
| 540          | 9   | 13               | 15  | 15  | 16  | 17   | 18   | 18   | 19   | 19    |
| 720          | 12  | 13               | 14  | 15  | 16  | 16   | 17   | 18   | 18   | 18    |
| 1080         | 18  | 14               | 14  | 15  | 15  | 16   | 16   | 17   | 17   | 18    |
| 1440         | 24  | 14               | 14  | 15  | 15  | 16   | 16   | 17   | 17   | 17    |
| 2880         | 48  | 16               | 16  | 16  | 16  | 16   | 17   | 17   | 17   | 17    |
| 4320         | 72  | 18               | 18  | 18  | 17  | 18   | 18   | 18   | 18   | 18    |
| 5760         | 96  | 20               | 19  | 19  | 19  | 18   | 19   | 19   | 19   | 19    |
| 7200         | 120 | 21               | 20  | 20  | 20  | 19   | 19   | 19   | 19   | 19    |
| 8640         | 144 | 22               | 21  | 21  | 20  | 20   | 20   | 20   | 20   | 20    |
| 10080        | 168 | 23               | 22  | 21  | 21  | 21   | 21   | 21   | 21   | 21    |

### Parameter für abweichende T und D

#### Lokationsparameter $\xi$ (Xi)

15,58419164

#### Skalenparameter $\alpha$ (Alpha)

4,95334657

#### Formparameter $\kappa$ (Kappa)

-0,1

#### 1. Koutsoyiannis-Parameter $\theta$ (Theta)

0,01301744

#### 2. Koutsoyiannis-Parameter $\eta$ (Eta)

0,67474472

Parameter für dauerstufenübergreifende Extremwertschätzung nach KOUTSOYIANNIS et al. 1998.

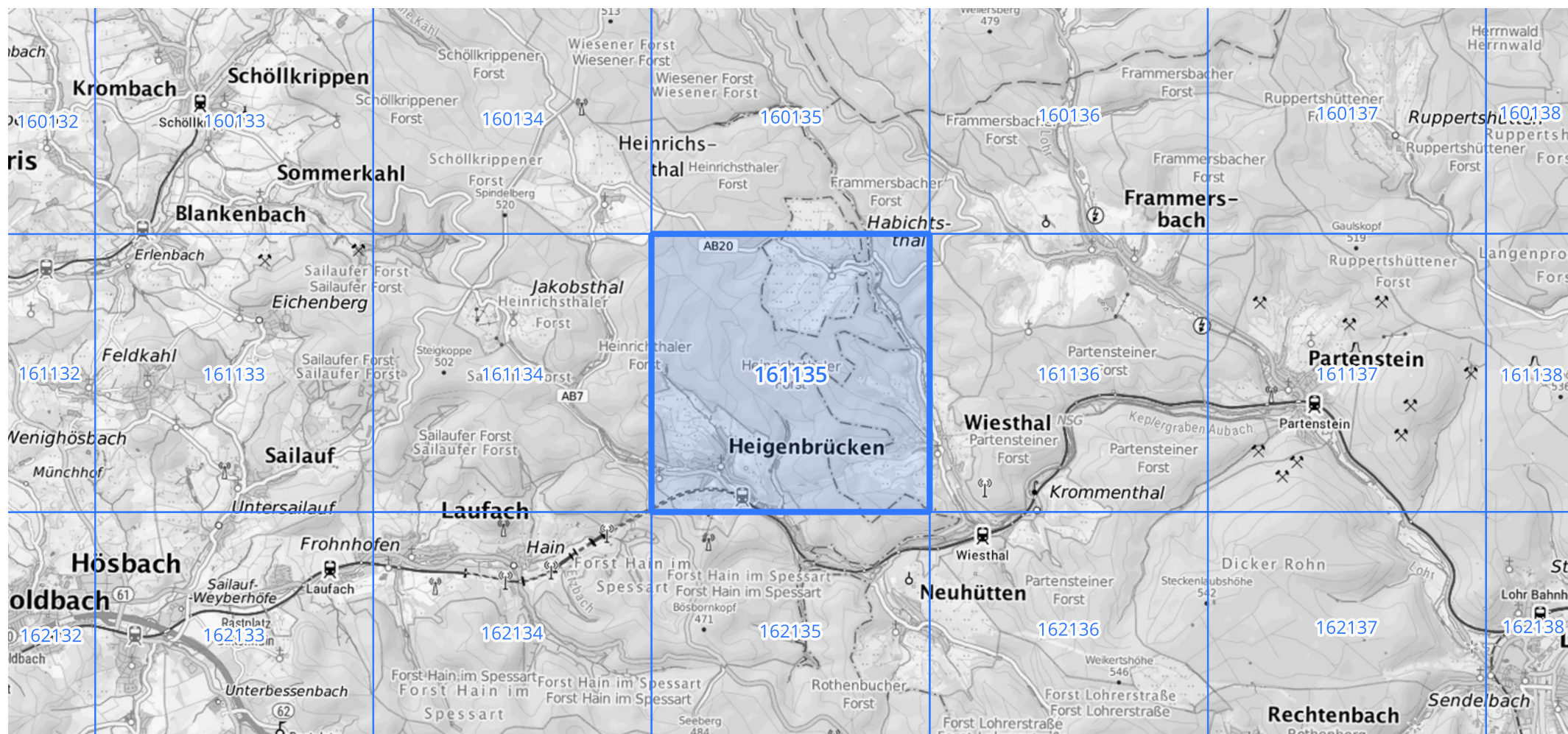
Siehe auch Anwendungshilfe zu KOSTRA-DWD-2020 des Deutschen Wetterdienstes.

# Starkniederschlagshöhen und -spenden gemäß KOSTRA-DWD-2020

## Rasterfeld 161135

(Zeile 161, Spalte 135)

Übersichtskarte des Rasterfeldes 161135, M 1 : 100 000



Quelle Rasterdaten: KOSTRA-DWD-2020 des Deutschen Wetterdienstes, Stand 12/2022.

Seite 3 von 3

Kartendarstellung: © Bundesamt für Kartographie und Geodäsie (2023), Datenquellen: [https://sgx.geodatenzentrum.de/web\\_public/gdz/datenquellen/Datenquellen\\_TopPlusOpen.html](https://sgx.geodatenzentrum.de/web_public/gdz/datenquellen/Datenquellen_TopPlusOpen.html)

Für die Richtigkeit und Aktualität der Angaben wird keine Gewähr übernommen. Erstellt 01/2023.